

**Zeitschrift:** Bulletin technique de la Suisse romande  
**Band:** 48 (1922)  
**Heft:** 8

**Artikel:** Etude sur les barrages arqués  
**Autor:** Stucky, A.  
**DOI:** <https://doi.org/10.5169/seals-37399>

### **Nutzungsbedingungen**

Die ETH-Bibliothek ist die Anbieterin der digitalisierten Zeitschriften. Sie besitzt keine Urheberrechte an den Zeitschriften und ist nicht verantwortlich für deren Inhalte. Die Rechte liegen in der Regel bei den Herausgebern beziehungsweise den externen Rechteinhabern. [Siehe Rechtliche Hinweise.](#)

### **Conditions d'utilisation**

L'ETH Library est le fournisseur des revues numérisées. Elle ne détient aucun droit d'auteur sur les revues et n'est pas responsable de leur contenu. En règle générale, les droits sont détenus par les éditeurs ou les détenteurs de droits externes. [Voir Informations légales.](#)

### **Terms of use**

The ETH Library is the provider of the digitised journals. It does not own any copyrights to the journals and is not responsible for their content. The rights usually lie with the publishers or the external rights holders. [See Legal notice.](#)

**Download PDF:** 14.03.2025

**ETH-Bibliothek Zürich, E-Periodica, <https://www.e-periodica.ch>**

# BULLETIN TECHNIQUE DE LA SUISSE ROMANDE

Réd. : D<sup>r</sup> H. DEMIERRE, ing.

Paraissant tous les 15 jours

ORGANE EN LANGUE FRANÇAISE DE LA SOCIÉTÉ SUISSE DES INGÉNIEURS ET DES ARCHITECTES

SOMMAIRE : *Etude sur les barrages arqués*, par A. STUCKY, ingénieur (suite). — *Concours pour l'hôtel de la Banque Populaire Suisse, à Fribourg* (suite et fin). — *L'hypothèse cosmogonique de Nernst*. — *Le coefficient d'élasticité longitudinale du béton*. — *L'industrie russe*. — *Congrès international des ingénieurs-conseils*. — BIBLIOGRAPHIE. — SOCIÉTÉS : *Société Genevoise des Ingénieurs et des Architectes*.

## Etude sur les barrages arqués

par A. STUCKY, ingénieur.

(Suite<sup>1</sup>.)

### 4. Répartition des poussées.

#### a) Poussée des eaux.

Pour chacun des murs considérés, le diagramme de la poussée des eaux, un triangle isocèle, est divisé en deux parts qui agissent l'une sur les arcs, l'autre sur le mur. Les tableaux des coefficients de déformation des murs permettent de calculer rapidement la déformation

$$\delta_a = \Sigma P_m \delta_{am}.$$

Pour les arcs on reporte la part des poussées qui leur revient dans les sections horizontales (fig. 19) où il est facile de construire ensuite le polygone funiculaire correspondant. La force axiale  $R_m$  varie peu dans un même arc malgré les poussées très différentes aux naissances et au sommet. On peut donc très bien calculer avec  $\bar{R}$  moyen.  $\bar{R}$  connu on en déduit le déplacement des points considérés au moyen de

$$\delta_m = \bar{R} \cdot \delta_{mR},$$

les coefficients  $\delta_{mR}$  se trouvant dans le tableau 6.

Le tableau ci-dessous donne le calcul des déformations de la section médiane. Les forces  $P_m$  sont les résultantes appliquées aux cotes 800, 95, 90 de la part des poussées.

Les deux dernières lignes du tableau indiquent : la première, les déplacements des points du mur calculés à l'aide des poussées agissant sur lui, soit  $\Sigma P_m \delta_{mm}$ , — la deuxième les déplacements des mêmes points considérés

<sup>1</sup> Voir *Bulletin technique* du 4 mars 1922, page 49.

comme appartenant aux arcs et calculés à l'aide des forces annulaires livrées par les épures de la fig. 17.

La concordance des déformations a été obtenue avec une exactitude d'environ 10 %. Il serait superflu de pousser celle-ci plus loin étant donné qu'on ne saurait jamais réaliser très exactement les hypothèses mises à la base du calcul.

Le pied du mur médian supporte la poussée totale de l'eau, ceci pour la raison que ce point du mur est fixe tandis que le point correspondant de l'arc, le sommet, ne l'est pas. Pour les murs latéraux la chose est différente. Le point inférieur est à la fois pied du mur et naissance d'un arc, c'est-à-dire, parfaitement fixe dans les deux cas, la poussée est répartie sur les deux éléments.

Les quatre diagrammes des poussées sur les murs présentent à leur partie supérieure une région négative. C'est-à-dire que les arcs y subissent une poussée supplémentaire provenant de la déformation des murs. Le sommet du mur est entraîné par la déformation des régions inférieures et entraîne à son tour les arcs supérieurs qui ne se déformeraient que très peu sous la seule pression des eaux. Par réaction les arcs enrayent le mouvement du sommet des murs.

#### b) Variation de température.

Les hypothèses qu'il y a lieu de faire sur les variations de température ont été discutées au chap. III.

*Lac vide, chute de température égale.*

Nous avons vu que l'influence d'une chute de température égale sur les arcs peut être assimilée à celle d'une force axiale virtuelle

$$R = \beta \cdot \Delta t \cdot E \cdot F.$$

Section médiane O.

Tableau 7.

m	$P_m$	$\delta_{am}$	$P_m \delta_{am}$	$\delta_{bm}$	$P_m \delta_{bm}$	$\delta_{cm}$	$P_m \delta_{cm}$	$\delta_{dm}$	$P_m \delta_{dm}$	$\delta_{em}$	$P_m \delta_{em}$	$\delta_{fm}$	$P_m \delta_{fm}$	$\delta_{gm}$	$P_m \delta_{gm}$	$\delta_{hm}$	$P_m \delta_{hm}$	$\delta_{im}$	$P_m \delta_{im}$	$\bar{R}_m$	$\delta_{ms}$
a	-7,6	325,3	-2460	217,2	-1650	137,5	-1045	82,4	-628	46,2	-350	23,9	-182	11,1	-84	4,3	-32	1,1	-8,4	1167	18,92
b	-1,9	217,2	-410	163,5	-310	109,8	-206	68,5	-130	39,4	-75	20,8	-39	9,8	-18	3,9	-7	1,0	-1,9	216	12,10
c	8	137,5	+1100	109,8	+871	82,1	+657	54,6	+436	32,6	+261	17,7	+141	8,6	+69	3,5	+28	0,9	+7,2	315	8,84
d	15	82,4	1235	68,5	1030	54,6	820	40,7	610	25,8	387	14,6	220	7,3	109	3,05	46	0,8	12,0	350	6,40
e	25	46,2	925	39,4	985	32,6	815	25,8	645	19,0	475	11,5	287	6,1	152	2,6	67	0,7	17,5	362	4,65
f	40	23,9	955	20,8	830	17,7	708	14,6	584	11,5	460	8,4	336	4,8	192	2,2	88	0,6	24,0	430	3,00
g	60	11,1	665	9,8	590	8,6	515	7,3	438	6,1	366	4,8	288	3,6	216	1,8	108	0,5	30,0	533	1,63
h	90	4,3	385	3,9	350	3,5	315	3,0	275	2,6	234	2,2	198	1,8	162	1,4	126	0,4	36,0	450	1,05
i	125	1,1	145	1,0	125	0,9	112	0,8	100	0,7	87	0,6	75	0,5	62	0,4	50	0,3	37,5	320	0,50
murs	$\delta_a$	2540	$\delta_b$	2821	$\delta_c$	2688	$\delta_d$	2330	$\delta_e$	1845	$\delta_f$	1324	$\delta_g$	860	$\delta_h$	474	$\delta_i$	154			
arcs	$R_a \cdot \delta_{as}$	2210	$R_b \cdot \delta_{bs}$	2620	$R_c \cdot \delta_{cs}$	2780	$R_d \cdot \delta_{ds}$	2240	$R_e \cdot \delta_{es}$	1680	$R_f \cdot \delta_{fs}$	1290	$R_g \cdot \delta_{gs}$	869	$R_h \cdot \delta_{hs}$	525	$R_i \cdot \delta_{is}$	160			

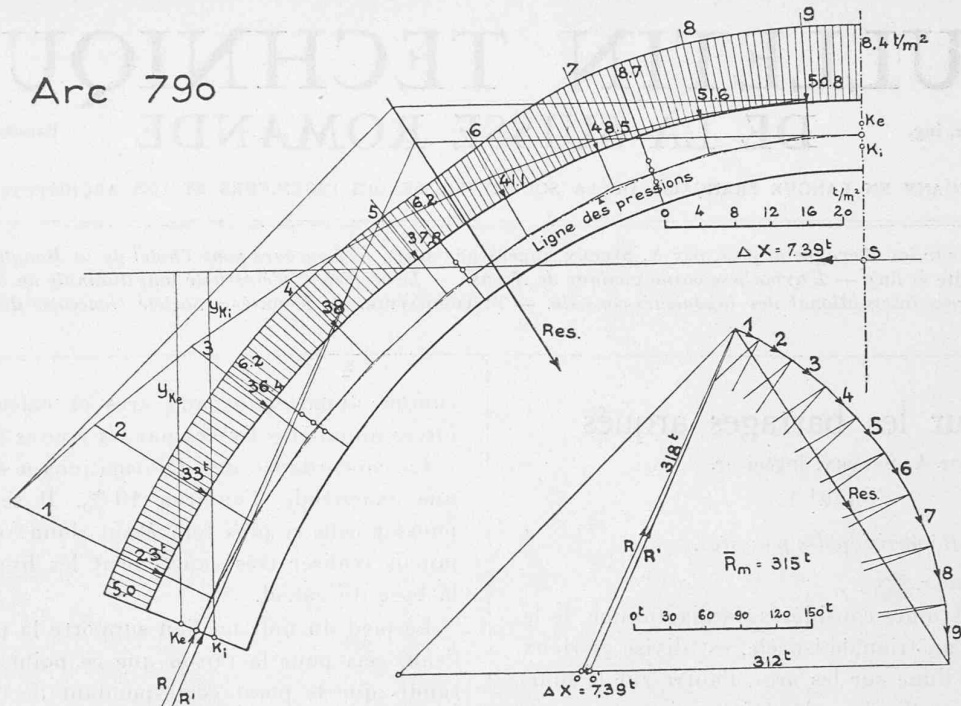


Fig. 19. — Poussées sur l'arc et ligne des pressions.

Echelle 1 : 400.

$t$  étant la chute de température. A ces forces axiales on peut faire correspondre des poussées virtuelles  $P_t$  agissant sur l'arc. Pour un arc de largeur constante la force axiale virtuelle  $R_t$  serait constante, et les poussées normales à l'arc. Pour un arc de largeur variable  $R_t$  varie en raison de l'épaisseur et les poussées virtuelles agissent obliquement sur l'arc, on peut les décomposer en forces normales et tangentielles.

L'effet des composantes tangentielles qui tendent à provoquer surtout un déplacement latéral des arcs est enrayé par les murs qui s'opposent à ce mouvement. Leur influence sur la répartition est faible, ainsi que nous le montrerons ci-après. Nous ne tiendrons compte que des composantes normales ; comme les arcs ne sont en général pas rigoureusement circulaires, ce calcul des poussées  $p_t$  se fait au mieux graphiquement.

Avec les hypothèses faites au chap. III on trouve :

Poussées virtuelles  $p_t$ . Tableau 8.

Cote	$\Delta t_m$	0	I	II	III	IV
		t/m	t/m	t/m	t/m	t/m
800	14°	18,5	17,2	14,4	12,1	11,5
795	12°	23,4	24,5	23,7	19,0	15,4
790	11°	28,0	28,0	26,7	21,0	18,4
785	10°	34,5	31,0	25,5	20,6	—
780	9°	43,4	35,0	23,4	21,7	—
775	8°	53,0	44,0	25,3	24,5	—
770	7°	60,0	50,0	31,5	—	—
765	6°	66,0	50,0	—	—	—
760	5°	70,0	56,0	—	—	—
755	4°	75,0	—	—	—	—

La manière dont ces poussées agissent sur le barrage diffère de l'action des poussées des eaux.

Si nous considérons comme précédemment les arcs et les murs, les premiers considérés isolément subiraient sous

l'influence d'une variation de température une déformation correspondant aux poussées totales  $p_t$  et il naîtrait des fatigues dues aux  $\Delta X_t$  correspondant à ces  $p_t$  tandis que les murs seuls ne subiraient ni déformation ni fatigue. Par suite de l'interdépendance des deux systèmes, les murs enrayent la déformation des arcs. Ceci a pour effet de soumettre les murs à des poussées  $p'_t$  réelles et les arcs aux mêmes poussées réelles  $-p'_t$  donnant naissance à des forces annulaires réelles  $-R'_t$  et à des forces hyperstatiques  $-\Delta X_t = -kR'_t$ . Les forces agissant sur les murs sont donc  $p'_t$  et celles agissant sur les arcs sont  $-R'_t$  et  $(\Delta X_t - \Delta X'_t)$ .

Ces forces amènent les arcs et les murs à coïncider. Le calcul de la répartition s'exécute de la même façon que pour la poussée des eaux. Le diagramme des  $p_t$  (fig. 20) se divise en deux parties,  $p'_t$  et  $(p_t - p'_t)$ . Les premières donnent le déplacement des murs, les secondes les déplacements des arcs.

Le calcul est en principe identique à celui du tableau 7.

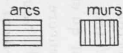
Lac plein, chute de température inégale.

Nous étions arrivés au résultat qu'une chute de température inégale des deux côtés de l'arc se manifeste par une force axiale virtuelle :  $R_{\Delta t + \Delta \tau} = E \cdot \beta \cdot F(\Delta t + \Delta \tau)$  et par un moment  $R_{\Delta t} \frac{e}{6}$

Le problème de la répartition des poussées est plus compliqué que dans le premier cas. Néanmoins, vu que les hypothèses sur les variations de température sont plus ou moins arbitraires, il est inutile de poursuivre le problème avec trop d'exactitude. On peut admettre pour le second cas la même répartition des poussées que pour le premier et réduire simplement les fatigues dues à  $R_{\Delta t}$  d'après le premier cas.

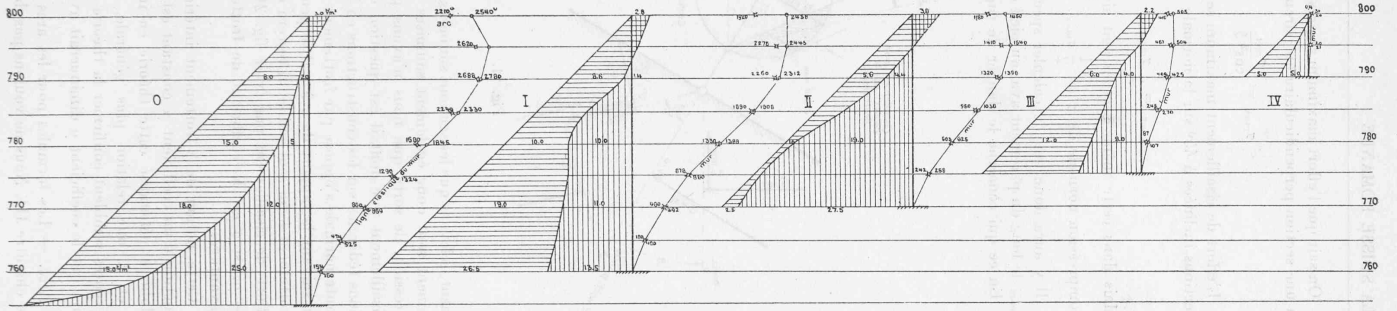
# Poussées sur les murs

## LEGENDE



## Poussée des eaux

Echelle des déplacements 1 cm  $\approx$  800 u



## Effets de la température

Echelle des déplacements 1 cm  $\approx$  4000 u

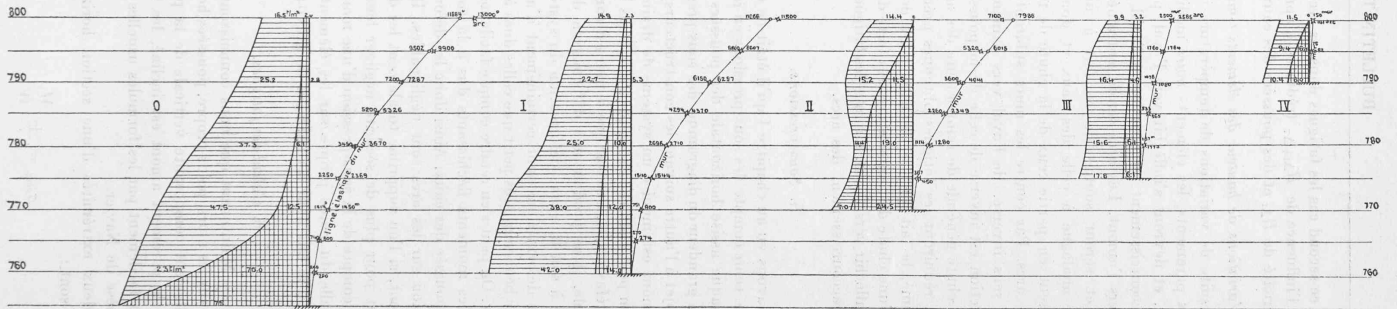
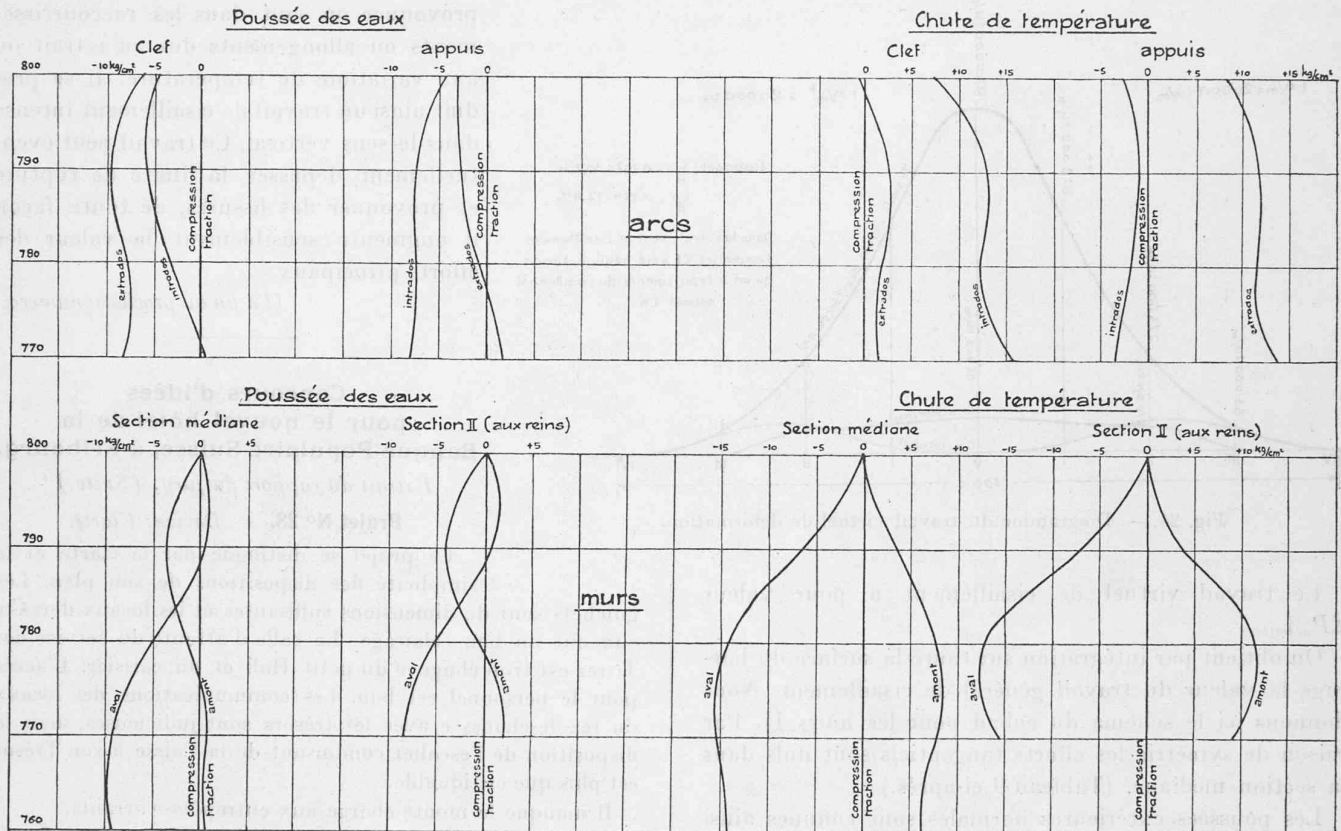


Fig 20.





1 cm. = 7,5 kg./cm.<sup>2</sup>

Fig. 22.

du calcul des fatigues qui ne présente pas de difficultés. Le diagramme fig. 22 donne les fatigues pour la poussée des eaux et la chute de température. Dans le cas de l'arc il se trouvera des sections qui sont soumises à un effort de traction oblique, c'est-à-dire une composante normale de traction et une composante tangentielle de cisaillement. Dans ce cas il n'y aura plus comme précédemment dans le mur une résistance au glissement par suite du frottement, mais la maçonnerie devra s'opposer au cisaillement uniquement par sa propre résistance. Il faut alors limiter le cisaillement à 4 kg/cm<sup>2</sup>.

*Examen des fatigues résultant des déformations tangentielles des murs.*

Il nous reste maintenant à prouver que l'on peut sans grande erreur négliger l'influence de la déformation tangentielle des murs sur la répartition des poussées. Le plus simple est de comparer, en se basant sur les résultats précédemment acquis, l'ordre de grandeur des efforts qui naissent dans le barrage par suite des déformations tangentielles. On peut par exemple déterminer le rapport de la somme des travaux virtuels des efforts tranchants

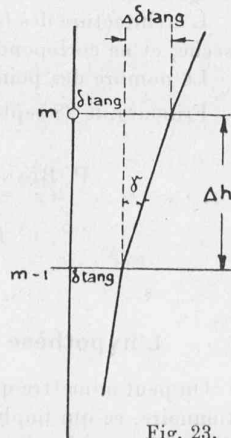


Fig. 23.

tangentiels à la somme des travaux virtuels des poussées extérieures. Nous relevons ici que ce rapport tel que nous allons le calculer est trop grand puisque les déformations normales et tangentielles qui nous serviront de base ont été calculées à l'exclusion des efforts tangentiels. Nous voulons précisément prouver que ces derniers sont si faibles que leur influence sur la répartition des poussées est négligeable.

Les épures des déformations des arcs nous permettent de déterminer la composante  $\delta_{tang}$  des déplacements que doivent subir les points  $m'$  des murs pour  $\Delta X = 1, -10, -$  ou  $100 t$ . Par multiplication avec le  $\Delta X$  effectif on obtient la grandeur  $\delta_{tang}$  recherchée. Le problème se pose ainsi : Connaissant les déformations, dues uniquement au cisaillement d'un mur de longueur variable avec la hauteur, mais d'épaisseur constante (1 m.) quelles sont les poussées qui agissent sur ce mur (ces poussées  $P_{tang}$  peuvent être supposées concentrées). C'est le problème inverse de celui de la recherche des coefficients  $\delta_{aa}$  des murs. Comme nous n'avons affaire qu'à des efforts tranchants, le calcul est le suivant :

Si  $\Delta h$  est la distance verticale de deux points, l'angle de glissement  $\gamma$  a pour valeur  $\frac{\Delta \delta_{tang}}{\Delta h} = \gamma$ .

$$\tau = \gamma \cdot G; \quad Q_m = \tau \cdot F = \gamma \cdot G \cdot F.$$

Les valeurs  $Q_m$  des efforts tranchants étant connues on en déduit facilement les poussées  $P_m$ .

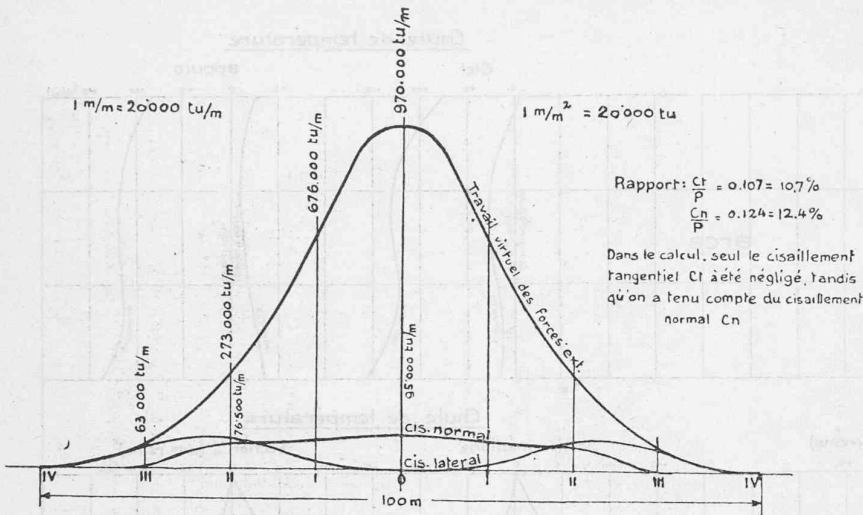


Fig. 24. — Diagramme du travail virtuel de déformation.

Le travail virtuel de cisaillement a pour valeur  $\Sigma P_m \delta_{mtang}$ .

On obtient par intégration sur toute la surface du barrage la valeur du travail général de cisaillement. Nous donnons ici le schéma du calcul pour les murs II. Par raison de symétrie les efforts tangentiels sont nuls dans la section médiane. (Tableau 9 ci-après.)

Les poussées extérieures normales sont connues ainsi que les déplacements normaux des points d'application  $m$ . On en déduit par simple multiplication le travail virtuel.

**Calcul du travail virtuel des efforts tangentiels dans la section II.**  
Tableau 9.

Cote	$\delta_{tang}$	$\Delta \delta_{tang}$	$\tau$	$F_m$	$F_m$ moyen	$Q_m$	$P_m$	$P_m \delta_{tang}$
	u	u	kg/cm <sup>2</sup>	m <sup>2</sup>	m <sup>2</sup>	t	t	t.u.
800	542	32	0,246	2,10	3,15	7,8	7,8	4.200
790	510	264	2,06	4,20	5,85	120,6	112,8	57.600
780	246	236	1,82	7,50	10,25	186,5	65,9	15.500
770	10	10	0,77	13,0	13,5	104	-82,5	-800
760				14,0			-104	0
								76.500 tu/m.

Nous avons reporté dans le diagramme, Fig. 24, les travaux des efforts de cisaillement tangentiels ainsi que les travaux des poussées extérieures pour les diverses sections verticales. Le rapport des deux surfaces est de 10,7 %.

Ce même calcul exécuté pour d'autres barrages a donné un rapport plus petit, soit 3 %. Si l'on examine le diagramme fig. 24 on constate que c'est dans la région des reins des arcs que se trouve la proportion la plus défavorable. Cette proportion peut être encore aggravée si le profil en long du barrage a la forme irrégulière type III fig. 26, car les murs étant très courts sont sollicités fortement par les déformations tangentielles. D'ailleurs cette forme irrégulière du profil en long a d'autres inconvénients encore. Une variation brusque de la hauteur des murs a pour effet de

provoquer un saut dans les raccourcissements ou allongements dus au retrait ou aux variations de température. Il se produit ainsi un travail de cisaillement intense dans le sens vertical. Ce travail peut éventuellement dépasser la limite de rupture et provoquer des fissures, de toute façon il augmente sensiblement la valeur des efforts principaux.

(La fin au prochain numéro.)

**Concours d'idées pour le nouvel hôtel de la Banque Populaire Suisse, à Fribourg.**

Extrait du rapport du jury. (Suite.)<sup>1</sup>

**Projet N° 28. — Devise: Clarté.**

Ce projet se distingue par la clarté et la simplicité des dispositions de son plan. Les guichets sont de dimensions suffisantes et les locaux derrière eux ont un bon éclairage. La salle d'attente du service des Titres est trop éloignée du petit Hall et du caissier. L'accès pour le personnel est bon. Les communications des locaux du rez-de-chaussée avec les trésors sont judicieuses, mais la disposition de l'escalier conduisant de la Caisse à son Trésor est plus que critiquable.

Il manque le monte-charge aux entrepôts-warrants.

Le couloir (disposé sous le trottoir), conduisant au chauffage, est inadmissible. Les locaux pour le chauffage et le charbon empiètent sur le second sous-sol, sans être prévus au plan.

Les communications du rez-de-chaussée au premier étage correspondent aux besoins, mais l'escalier principal, disposé sur la façade de l'Avenue de la Gare, est d'un effet malheureux.

Au premier étage, la salle d'attente et un des locaux pour le vice-directeur sont mal disposés.

Aux deuxième et troisième étages, toute répartition des locaux est rendue facile, mais les appartements du troisième étage et des combles ne sont, par contre, pas rationnels.

L'architecture des façades est simple de lignes, mais un peu sèche, et ne correspond pas à la situation locale.

Le nombre des points obtenus est de 92.

Fribourg, le 28 septembre 1921.

Le jury:

P. BLANCPAIN, G. EPITAUX, ALBERT GERSTER, N. KUNZLI, R. SUTER.

Le secrétaire: G.-L. FRAGNIÈRE.

**L'hypothèse cosmogonique de Nernst.**

On peut admettre que l'univers se trouve dans un état stationnaire, ce qui implique qu'il naît autant d'étoiles qu'il en disparaît par refroidissement. Mais cette hypothèse est contredite:

1° Par la doctrine de la thermodynamique qui postule l'irréversibilité des phénomènes. D'immenses quantités d'énergie se dissipent, sans compensation, par rayonnement, et comme la masse anéantie est égale à l'énergie divisée par le carré de la vitesse de la lumière, cette formidable dissipation d'énergie a

<sup>1</sup> Voir Bulletin technique du 1<sup>er</sup> avril 1922, page 78.